



دانشکده مهندسی برق و کامپیوتر

گروه مهندسی برق قدرت

پایان نامه برای دریافت درجه کارشناسی ارشد  
در رشته مهندسی برق قدرت گرایش الکترونیک قدرت

عنوان

تحلیل و شعع سازی یک مبدل الکترونیک قدرت جدید بهبودیافته برای استحصال توان  
ماکریم از انرژی های تجدیع پذیر

اساتید راهنمای

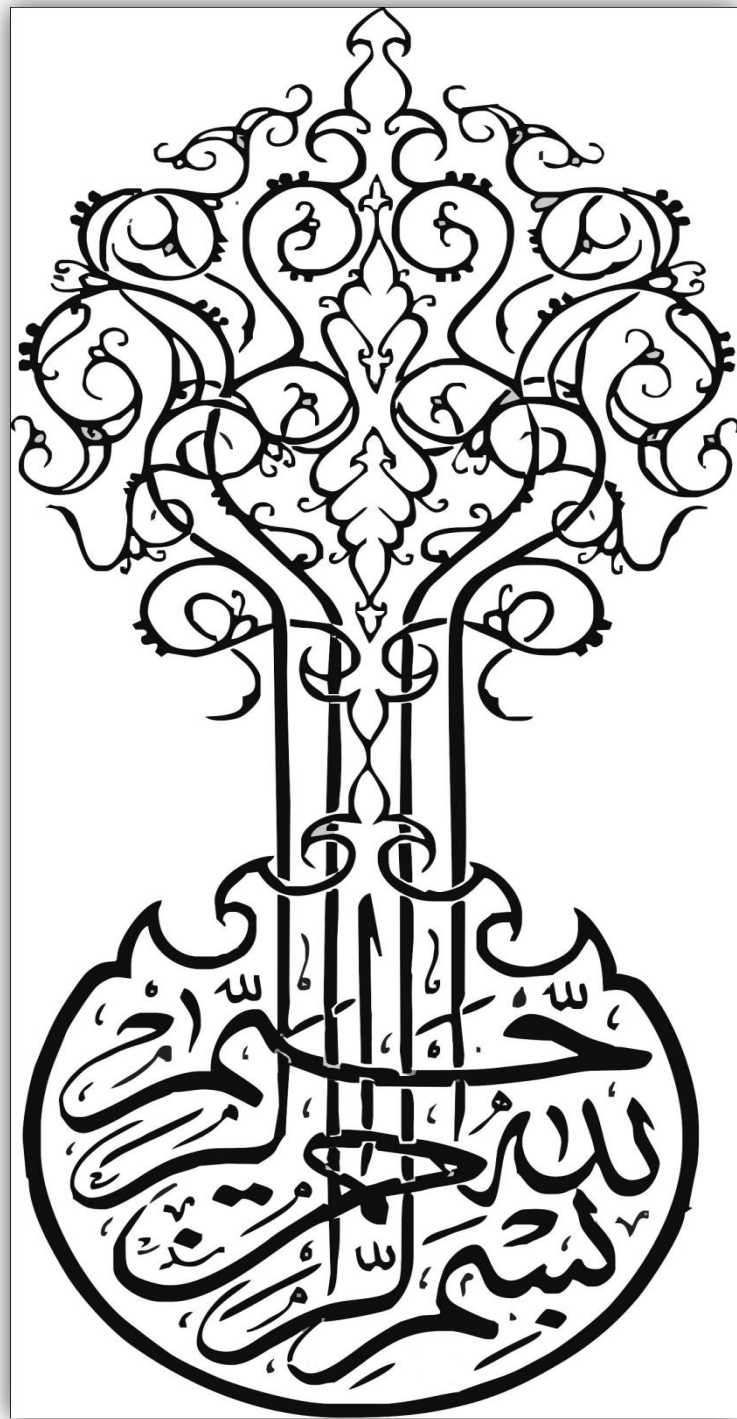
دکتر سید حسین حسینی

دکتر ابراهیم بابایی

پژوهشگر

امین اشرف گندمی

بهمن ۱۳۹۳



با سپاس خداوند منان را که فرصتی مقرر نمود تا قدری په مسیر پیموده شده توجه نمایم. خدای را شاکرم که در تمایی هر اجل زندگی، پاد او آرامش پخش روح و روان پنده پوده است. در این مسیر، که منجر په تکمیل این پخش علمی زندگی پنده پوده است، از اساطیر راهنمای پژوگوار اینجانب، چناب آقای دکتر سید حسین حسینی و چناب آقای دکتر ابراهیم پاپایی که راهنمایی های ایشان، تکمیل کننده کار پنده پوده است، پنهانیت سپاسگزارم. همچنین از چناب آقای دکتر صباخی که پنهانی، بدون هیچ چشم داشتی، دنسوزانه پنهانیت توان پنده را راهنمایی نمودند، قدردانی می کنم. از دوست عزیزم، چناب آقای مهندس سعید سعیداً پادی که در تکمیل پایان نامه پنده، نقش په سزاپی داشتند، کمال تشکر را دارم. درنهانیت، ولی نه در انتها، از ارزشمندترین انسان های زندگی ام که در تمام لحظات زندگی، چه در سختی و مشکلات، و چه در لحظات شادی، پشتوانه پنده پوده اند، پا راهنمایی ها و کمک هایشان، تک تک لحظات زندگی پنده را سرشار از آرامش نمودند، پا تمام وجود تشکر می کنم، از پروردگار متعال سلامتی شان را آذزو می کنم، لذا این تحفه ناجائز را په وجود پاگ و سخا و تمدن

پدر پژوگوارم،

مادر فداکارم

و پرادر عزیزم

تقدیم می کنم.

نام: امین	نام خانوادگی: اشرف گندمی
عنوان پایان نامه: تحلیل و شیوه سازی یک مبدل الکتروویک قدرت جدید بهبود گفته برای استحصال توان ماکریزم از انرژی های تجدی پذیر	اسالتی راهنمای: دکتر سید حسین حسینی - دکتر ابراهیم بابائی
دانشگاه: تبریز	مقطع تحصیلی: کارشناسی ارشد
رشته: مهندسی برق قدرت	گرایش: الکترونیک قدرت
دانشکده: مهندسی برق و کامپیوتر	تعداد صفحه: ۱۳۹۳/۱۱/۱۱
تاریخ فارغ التحصیلی:	کلیدواژه‌ها: اینورتر چندسطحی، افزایندگی ولتاژ، روش کنترلی MPDPWM، سیستم‌های سلول خورشیدی، MPPT.
چکیده:	
<p>در این پایان نامه، اینورتری با ساختار و روش کنترلی جدید برای کاربردهای انرژی های تجدیدپذیر پیشنهاد شده است . اینورتر پایه پیشنهادی توانایی تولید ولتاژ ۷ سطحی با کمترین تعداد کلید و منابع را دارا می باشد. اینورتر تک طبقه پیشنهادی قابلیت افزایندگی ولتاژ ورودی را داشته و مناسب برای منابع فتوولتاییک می باشد، که نیاز به طبقه دیگر و اینورتر افزاینده دیگری در این ساختار وجود ندارد . اینورتر پایه پیشنهادی از جنبه های تعداد ادوات سازنده، تنش ولتاژ، بهره ولتاژ خروجی ، هزینه، حجم و وزن با ساختارهای مرسوم و ساختارهایی که اخیرا ارایه شده اند، مقایسه شده و از این دیدگاه ها عملکرد مناسب اینورتر پیشنهادی تایید شده است . همچنین برای اخذ بیشینه توان از پنل های خورشیدی، محاسبات مربوطه انجام یافته و توانایی اینورتر پیشنهادی در این زمینه اثبات گشته است . در این پایان نامه، ساختار اینورتر پایه پیشنهادی از دیدگاه های مختلف تعیین یافته است. در این زمینه، پنج ساختار تعیین یافته پیشنهاد شده و در هر یک، برای حصول بیشینه سطح زوج و فرد ولتاژ تولیدی با پله های برابر، الگوریتم های تعیین سایز منابع و ضریب سیم پیچی ترانسفورماتورها پیشنهاد شده است . همچنین اینورترهای تعیین یافته از دیدگاه های متفاوت با یکدیگر مقایسه شده اند. ساختار بهبود یافته دیگری در راستای کاهش منابع ورودی نیز پیشنهاد شده است . برای این اینورتر، روش کنترلی جدیدی برای تولید ولتاژ مناسب پیشنهاد شده است . همچنین طراحی ادوات استفاده شده در ساختار اینورترهای پیشنهادی و محاسبه تلفات آن ها نیز در این پایان نامه صورت پذیرفته است. عملکرد حالت طبیعی و رفتار دینامیکی اینورتر پایه پیشنهادی و ساختار بهبود یافته و روش های کنترلی ارایه داده شده و همچنین تعقیب بیشینه توان در منابع فتوولتاییک توسط اینورتر پیشنهادی در حالت های متفاوت اعم از تغییرات مقدار منبع ورودی، تغییرات مقدار بار، تعییرات تابش و دمای پنل خورشیدی بوسیله نتایج شبیه سازی تایید شده اند. در راستای تحلیل عملی عملکرد اینورتر پیشنهادی، نمونه آزمایشگاهی اینورتر پیشنهادی ساخته شده است. نتایج حاصل از نمونه آزمایشگاهی، عملکرد مناسب اینورتر پیشنهادی و روش کنترلی بهبود یافته پیشنهادی و در نتیجه نتایج شبیه سازی های مربوطه را تایید کردند.</p>	

## فهرست مطالب

عنوان.....	صفحه.....
۱ ..... مقدمه	۱ ..... ۲
۱-۱ ..... مقدمه	۱-۱ ..... ۲
۲ ..... برسی منابع	۲ ..... ۴
۱-۲ ..... مقدمه	۱-۲ ..... ۴
۲-۲ ..... برسی منابع	۲-۲ ..... ۴
۳-۲ ..... اینورتر کاسکاد	۳-۲ ..... ۴
۴-۲ ..... اینورتر دیود کلمپ	۴-۲ ..... ۶
۵-۲ ..... اینورتر خازن کلمپ	۵-۲ ..... ۷
۶-۲ ..... انواع دیگر از ساختارهای دارای خازن متعدد	۶-۲ ..... ۷
۷-۲ ..... اینورترهای مالتی سل	۷-۲ ..... ۸
۸-۲ ..... اینورترهای چندسطحی ارایه شده در سالهای اخیر	۸-۲ ..... ۱۰
۹-۲ ..... ساختارهای دارای سلف تزویج یا ترانسفورماتور	۹-۲ ..... ۱۲
۱۰-۲ ..... برسی روش‌های کنترلی اعمالی به اینورترها	۱۰-۲ ..... ۱۴
۱-۱۰-۲ ..... روش کنترلی مربعی (Staircase)	۱-۱۰-۲ ..... ۱۴
۲-۱۰-۲ ..... روش کنترلی PWM	۲-۱۰-۲ ..... ۱۵
۱-۲-۱۰-۲ ..... روش کنترلی PDPWM	۱-۲-۱۰-۲ ..... ۱۵
۲-۲-۱۰-۲ ..... روش کنترلی VAPDPWM	۲-۲-۱۰-۲ ..... ۱۵
۳-۲-۱۰-۲ ..... روش کنترلی VFPWM	۳-۲-۱۰-۲ ..... ۱۶
۴-۲-۱۰-۲ ..... روش کنترلی VAVFPWM	۴-۲-۱۰-۲ ..... ۱۶
۵-۲-۱۰-۲ ..... روش کنترلی COPDPWM	۵-۲-۱۰-۲ ..... ۱۶
۶-۲-۱۰-۲ ..... روش کنترلی VACOPDPWM	۶-۲-۱۰-۲ ..... ۱۷
۱۱-۲ ..... برسی ساختار و عمکرد پنلهای خورشیدی	۱۱-۲ ..... ۱۸
۱-۱۱-۲ ..... روابط جریان-ولتاژ ماجول PV	۱-۱۱-۲ ..... ۱۹
۲-۱۱-۲ ..... طرح مسئله MPPT	۲-۱۱-۲ ..... ۲۱
۱-۲-۱۱-۲ ..... روش IC	۱-۲-۱۱-۲ ..... ۲۱
۲-۲-۱۱-۲ ..... روش انطباق مقاومتی	۲-۲-۱۱-۲ ..... ۲۲
۱۲-۲ ..... برسی اینورترهای با کاربرد در سلول‌های خورشیدی	۱۲-۲ ..... ۲۵

۲۸	خلاصه و نتیجه‌گیری	۱۳-۲
۳۰	ساختارها و الگوریتم‌های پیشنهادی	۳
۳۰	مقدمه	۱-۳
۳۰	ساختار پایه اینورتر پیشنهادی	۲-۳
۳۷	مدولاسیون پهنه‌ای باند (PD) بهبودیافته:	۳-۳
۳۹	ساختارهای تعمیم‌یافته مبدل پیشنهادی:	۴-۳
۳۹	تعمیم سری اینورتر پایه	۱-۴-۳
۴۰	مقادیر منابع و ضریب سیم‌پیچی ترانسفورماتورها برابر	۱-۱-۴-۳
۴۰	مبدل پیشنهادی ۱ ماجوله	۱-۱-۱-۴-۳
۴۰	مبدل پیشنهادی ۲ ماجوله	۲-۱-۱-۴-۳
۴۰	مبدل پیشنهادی $m$ ماجوله	۳-۱-۱-۴-۳
۴۰	مقادیر منابع نابرابر و ضریب سیم‌پیچی ترانسفورماتورها برابر	۲-۱-۴-۳
۴۰	مبدل پیشنهادی ۱ ماجوله	۱-۲-۱-۴-۳
۴۱	مبدل پیشنهادی ۲ ماجوله	۲-۲-۱-۴-۳
۴۱	مبدل پیشنهادی $m$ ماجوله	۳-۲-۱-۴-۳
۴۱	مقادیر منابع برابر و ضریب سیم‌پیچی ترانسفورماتورها نابرابر	۳-۱-۴-۳
۴۱	مبدل پیشنهادی ۱ ماجوله	۱-۳-۱-۴-۳
۴۱	مبدل پیشنهادی ۲ ماجوله	۲-۳-۱-۴-۳
۴۱	مبدل پیشنهادی $m$ ماجوله	۳-۳-۱-۴-۳
۴۲	تعمیم از دیدگاه ترانسفورماتور	۲-۴-۳
۴۲	مبدل پیشنهادی ۷ سطحی	۱-۲-۴-۳
۴۲	مبدل پیشنهادی ۱۵ سطحی	۲-۲-۴-۳
۴۳	مبدل پیشنهادی در حالت کلی	۳-۲-۴-۳
۴۳	تعمیم از دیدگاه منبع ورودی	۳-۴-۳
۴۴	مبدل پیشنهادی ۷ سطحی	۱-۳-۴-۳
۴۴	مبدل پیشنهادی ۱۵ سطحی	۲-۳-۴-۳
۴۴	مبدل پیشنهادی در حالت کلی	۳-۳-۴-۳
۴۵	اعمال MPPT در مبدل پیشنهادی	۵-۳
۴۶	طراحی ترانسفورماتور به کار رفته در اینورتر پیشنهادی	۶-۳
۴۸	محاسبه تلفات در مبدل پیشنهادی	۷-۳
۴۸	تلفات نیمه‌هادی‌ها	۱-۷-۳
۴۹	تلفات ترانسفورماتور	۲-۷-۳
۴۹	خلاصه و نتیجه‌گیری	۸-۳

۵۱	مقایسه اینورتر پیشنهادی با اینورترهای موجود	۴
۵۱	مقدمه	۱-۴
۵۱	مقایسه از دیدگاه اجزاء سازنده	۲-۴
۵۲	مقایسه از دیدگاه تنش ولتاژ اینورتر	۳-۴
۵۳	مقایسه از دیدگاه بهره ولتاژ خروجی اینورتر	۴-۴
۵۴	مقایسه از دیدگاه هزینه، حجم و وزن سیستم	۵-۴
۵۴	مقایسه ساختارهای تعمیم یافته پیشنهادی	۶-۴
۵۵	تعداد سطوح ولتاژ تولیدی	۱-۶-۴
۵۶	سایز منابع ورودی	۲-۶-۴
۵۶	تنش ولتاژ	۳-۶-۴
۵۷	ساختار $Inv_1$	۱-۳-۶-۴
۵۷	ساختار $Inv_2$	۲-۳-۶-۴
۵۷	ساختار $Inv_3$	۳-۳-۶-۴
۵۷	ساختار $Inv_4$	۴-۳-۶-۴
۵۷	ساختار $Inv_5$	۵-۳-۶-۴
۵۸	خلاصه و نتیجه گیری	۷-۴
۶۰	نتایج شبیه سازی و آزمایشگاهی	۵
۶۰	مقدمه	۱-۵
۶۰	نتایج شبیه سازی	۲-۵
۶۱	اعمال روش کنترلی مربعی	۱-۲-۵
۶۱	اعمال روش کنترلی PDPWM بهبود یافته	۲-۲-۵
۶۳	مقایسه روش کنترلی PDPWM مرسوم و بهبود یافته	۳-۲-۵
۶۵	بررسی عملکرد دینامیکی اینورتر پیشنهادی در تعییرات مقادیر منبع ورودی و بار خروجی	۴-۲-۵
۶۶	بررسی عملکرد اینورتر پیشنهادی برای تحصیل بیشینه توان از منابع PV	۵-۲-۵
۶۷	مقادیر دما و بار خروجی ثابت، مقدار تابش متغیر	۱-۵-۲-۵
۶۸	مقادیر تابش و بار خروجی ثابت، مقدار دما متغیر	۲-۵-۲-۵
۶۹	مقادیر دما و تابش ثابت، مقدار بار خروجی متغیر	۳-۵-۲-۵
۷۰	نتایج آزمایشگاهی	۳-۵
۷۱	اعمال روش کنترلی مربعی و بررسی عملکرد ترانسفورماتور	۱-۳-۵
۷۲	اعمال روش کنترلی PWM	۲-۳-۵
۷۳	خلاصه و نتیجه گیری	۴-۵

۷۵	نتیجه‌گیری و پیشنهادات...	۶
۷۵	نتیجه‌گیری...	۱-۶
۷۶	پیشنهادات...	۲-۶
۷۸	مراجع.....	۷
۷۸	مراجع.....	۱-۷

جدول ۱-۲: حالات کاهشی اکنورتر با سلف تزویج [۲۴]	۱۳
جدول ۲-۲: حالات کاهشی در اکنورتر ۷ سطحی با ترانسفورماتور [۲۵]	۱۴
جدول ۳-۲: مقایسه THD ولتاژ خروجی برای روش‌های کنترل PWM مختلف (بر حسب درصد)	۱۸
جدول ۴-۲: مقایسه مقدار مؤثر ولتاژ خروجی برای روش‌های کنترل PWM مختلف	۱۸
جدول ۵-۲: مشخصات ماجول PV استفاده شده در پاکن نامه	۲۰
جدول ۱-۳: حالات کاهشی اکنورتر پیشنهادی	۳۶
جدول ۲-۳: تعداد اجزا مبدل پیشنهادی	۴۳
جدول ۳-۳: تعداد اجزا مبدل پیشنهادی	۴۵
جدول ۱-۴: تعداد قطعات اکنورتر پیشنهادی و اکنورترهای موجود برای توازن ولتاژ هفت سطحی	۵۲
جدول ۲-۴: مقایسه تنفس ولتاژ ساختار ۷ سطحی ارائه شده با اکنورترهای مرسوم و [۲۵] و [۲۳-۲۱]	۵۲
جدول ۳-۴: مقایسه بهره ولتاژ اکنورتر پیشنهادی ۷ سطحی با اکنورترهای مرسوم و [۲۵] و [۲۳-۲۱]	۵۳
جدول ۴-۴: هزئینه قطعات استفاده شده	۵۴
جدول ۴-۵: هزئینه سیستم پیشنهادی و سیستم‌های [۲۵] و [۲۳-۲۱]	۵۴
جدول ۴-۶: مقایسه هزئینه، ابعاد و وزن باتری خودرو و ترانسفورماتور	۵۴
جدول ۷-۴: مقایسه ساختارهای تعمیم گفته پیشنهادی	۵۵
جدول ۸-۴: تعداد سطوح ولتاژ تولیدی توسط هر کلاه در ساختارهای پیشنهادی	۵۵
جدول ۹-۴: مقدار منابع ورودی برای توازن هزئینه سطح ولتاژ کسان در ساختارهای پیشنهادی	۵۶
جدول ۱-۵: مقدار عناصر مورد استفاده در شعبه‌سازی برای اکنورتر ۷ سطحی پیشنهادی	۶۰
جدول ۲-۵: مقدار ولتاژ و جریان پنل در نقطه هزئینه توان در دمای ۲۵ درجه سانتی‌گراد	۶۷
جدول ۳-۵: مقدار ولتاژ و جریان پنل در نقطه هزئینه توان در تابش ۱۰۰۰ وات بر متر مربع	۶۷
جدول ۴-۵: مقدار اجزاء بکار رفته در مدار عملی	۷۰

۴	شکل ۱-۲: انحصاری کاسکاد مرسوم
۶	شکل ۲-۲: ساختارهای بهبودیافته کاسکاد
۷	شکل ۲-۳: ساختار انحصاری دیوید کلمپ [۳]
۷	شکل ۲-۴: ساختار انحصاری خازن کلمپ [۳]
۸	شکل ۲-۵: انواع ساختارهای با خازن متعدد
۹	شکل ۲-۶: انحصاری FCM ارایه شده در [۱۴]
۹	شکل ۲-۷: انحصاری SM ارایه داده شده در [۱۶]
۹	شکل ۲-۸: انحصاری DFCM ارایه داده شده در [۱۹]
۱۰	شکل ۲-۹: ساختار ۷ سطحی ارایه شده در [۲۱]
۱۰	شکل ۲-۱۰: حالات کلیدزی در انحصاری ارایه شده در [۲۱]
۱۱	شکل ۲-۱۱: ساختار ارایه شده در [۲۲]
۱۲	شکل ۲-۱۲: حالات کلیدزی در انحصاری ارایه شده در [۲۲]
۱۲	شکل ۲-۱۳: ساختار ارایه شده در [۲۳]
۱۳	شکل ۲-۱۴: ساختار ارائه شده با سلف تزویج [۲۴]
۱۳	شکل ۲-۱۵: ساختار ارائه شده با ترانسفورماتور [۲۵]
۱۴	شکل ۲-۱۶: ساختار ۷ سطحی انحصاری با ترانسفورماتور [۲۵]
۱۵	شکل ۲-۱۷: روش کنترلی PDPWM
۱۵	شکل ۲-۱۸: روش کنترلی VAPDPWM
۱۶	شکل ۲-۱۹: روش کنترلی VFPWM
۱۶	شکل ۲-۲۰: روش کنترلی VAVFPWM
۱۷	شکل ۲-۲۱: روش کنترلی COPDPWM
۱۷	شکل ۲-۲۲: روش کنترلی VACOPDPWM
۱۷	شکل ۲-۲۳: انحصاری چندسطحی کاسکاد ارایه شده در [۲۶]
۱۹	شکل ۲-۲۴: شماتیک سلول خورشیدی
۱۹	شکل ۲-۲۵: مدل الکتریکی سلول نوری
۲۱	شکل ۲-۲۶: تغییرات جریان و توان ماجول PV برابر شدت روشنایی متفاوت و دمای استاندارد
۲۱	شکل ۲-۲۷: تغییرات جریان و توان ماجول PV برابر درجه حرارت‌های متفاوت و شدت روشنایی استاندارد
۲۲	شکل ۲-۲۸: فلوچارت الگوریتم IC
۲۳	شکل ۲-۲۹: شماتیک اتصال سلول خورشیدی به بار توسط مبدل
۲۳	شکل ۲-۳۰: شماتیک مقاومت معادل ورودی
۲۳	شکل ۲-۳۱: نمودار مقاومت معادل
۲۵	شکل ۲-۳۲: نواحی عملکرد مبدل‌ها برای MPPT
۲۶	شکل ۲-۳۳: ساختار ارایه شده در [۳۲]
۲۶	شکل ۲-۳۴: (الف)-(پ) رعایت سیکل مثبت، (ت)-(ج) رعایت سیکل منفی

..... ۲۷	..... شکل ۳۵-۲: ساختارهای انحصاری با استفاده از مبدل‌های کاهنده و افزاینده [۳۳]
..... ۲۷	..... شکل ۳۶-۲: ساختار ارایی شده در [۳۴]
..... ۲۸	..... شکل ۳۷-۲: مدهای کاری مبدل ارایی شده در [۳۴]
..... ۳۰	..... شکل ۱-۳: ساختار پایه انحصاری پیشنهادی
..... ۳۱	..... شکل ۲-۳: ولتاژ خروجی صفر
..... ۳۲	..... شکل ۳-۳: ولتاژ خروجی $E$
..... ۳۳	..... شکل ۴-۳: ولتاژ خروجی $\frac{n_1}{n_2} E$
..... ۳۴	..... شکل ۵-۳: ولتاژ خروجی $(\frac{n_1}{n_2} + 1)E$
..... ۳۵	..... شکل ۶-۳: ولتاژ خروجی $-E$
..... ۳۶	..... شکل ۷-۳: ولتاژ خروجی $-\frac{n_1}{n_2} E$
..... ۳۷	..... شکل ۸-۳: ولتاژ خروجی $-(\frac{n_1}{n_2} + 1)E$
..... ۳۸	..... شکل ۹-۳: ولتاژ هفت سطحی خروجی انحصاری، ولتاژ خروجی سه سطحی قبل از ترانسفورماتور و ولتاژ دو سر ترانسفورماتور
..... ۳۹	..... شکل ۱۰-۳: موج‌های مرتع و حامل در مدولاسیون اعمال شده در انحصاری پیشنهادی
..... ۴۰	..... شکل ۱۱-۳: ساختار سری انحصاری پیشنهادی
..... ۴۱	..... شکل ۱۲-۳: مبدل پیشنهادی تعمیم‌کافته از ترانسفورماتور
..... ۴۲	..... شکل ۱۳-۳: مبدل پیشنهادی تعمیم‌کافته از منابع ورودی
..... ۴۳	..... شکل ۱۴-۳: منحری‌های ولتاژ القا شده و فلوی مغناطیسی روی ترانسفورماتور
..... ۴۴	..... شکل ۱-۴: ساختار پیشنهادی و ساختارهای ارائه شده در [۲۵] و [۲۳-۲۱]
..... ۴۵	..... شکل ۲-۴: نمودار لگاریتمی تعداد سطوح ولتاژ تولیدی بهازی تعداد کلیدها
..... ۴۶	..... شکل ۳-۴ اندازه منابع ساختارهای $Inv_1$ , $Inv_2$ , $Inv_3$ , $Inv_4$ و $Inv_5$
..... ۴۷	..... شکل ۴-۴: مقایسه تنفس ولتاژ ساختارهای $Inv_1 - Inv_5$
..... ۴۸	..... شکل ۱-۵: مدار شعاع‌سازی شده برای ساختار پایه پیشنهادی
..... ۴۹	..... شکل ۲-۵: ولتاژ هفت سطحی خروجی انحصاری، ولتاژ خروجی سه سطحی قبل از ترانسفورماتور و ولتاژ دو سر ترانسفورماتور
..... ۵۰	..... شکل ۵-۳: ولتاژ و جریان خروجی انحصاری در $M_a = 0.3, 0.6, 0.9$
..... ۵۱	..... شکل ۵-۴: پالس‌های آتش کلیدها در انحصاری پیشنهادی برای $M_a = 0.3$
..... ۵۲	..... شکل ۵-۵: پالس‌های آتش کلیدها در انحصاری پیشنهادی برای $M_a = 0.6$
..... ۵۳	..... شکل ۵-۶: پالس‌های آتش کلیدها در انحصاری پیشنهادی برای $M_a = 0.9$
..... ۵۴	..... شکل ۷-۵: روش مدولاسیون پهنای باند PDPWM مرسوم و روش کترل‌پیشنهادی در $n_1 : n_2 = 3 : 1$
..... ۵۵	..... شکل ۸-۵: روش مدولاسیون پهنای باند PDPWM مرسوم و روش کترل‌پیشنهادی در $n_1 : n_2 = 4 : 1$
..... ۵۶	..... شکل ۹-۵: ولتاژ و جریان خروجی انحصاری در $M_a = 0.3, 0.6, 0.9$ در تغیرات ولتاژ ورودی
..... ۵۷	..... شکل ۱۰-۵: ولتاژ و جریان خروجی انحصاری در $M_a = 0.3, 0.6, 0.9$ در تغییرات بار خروجی
..... ۵۸	..... شکل ۱۱-۵: (الف) تابش، شاخص مدولاسیون، ولتاژ پنل، جریان پنل و ولتاژ خروجی انحصاری، (ب) بزرگ شده ولتاژ خروجی

شکل ۱۲-۵: (الف) دما، شاخص مدولاسیون، ولتاژ پنل، جرطه پنل و ولتاژ خروجی اکسورتر، (ب) بزرگ شدهی ولتاژ خروجی.....	۶۹
شکل ۱۳-۵: (الف) بار، شاخص مدولاسیون، ولتاژ پنل، جرطه پنل و ولتاژ خروجی اکسورتر، (ب) بزرگ شدهی ولتاژ خروجی.....	۷۰
شکل ۱۴-۵: نمونه آزمایشگاهی اکسورتر پیشنهادی.....	۷۱
شکل ۱۵-۵: به ترتیب از بالا به پایین، ولتاژ خروجی اکسورتر، ولتاژ اکسورتر قبل از ترانسفورماتور و ولتاژ دو سر ترانسفورماتور.....	۷۱
شکل ۱۶-۵: پالس آتش کلیدهای $S_1, S_2, S_3$ .....	۷۲
شکل ۱۷-۵: پالس آتش کلیدهای $S_1 - S_6$ .....	۷۲
شکل ۱۸-۵: ولتاژ کلیدهای $S_1 - S_6$ .....	۷۳
شکل ۱۹-۵: ولتاژ و جرطه خروجی اکسورتر با شاخص مدولاسیون $M_a = 0.9$ ، برای توازن ولتاژ هفت سطحی.....	۷۳

# بخش اول: بررسی منابع

فصل اول

مقدمه

## ۱ مقدمه

### ۱۱ مقدمه

در اینورترهای چندسطحی برای تولید ولتاژ چندسطحی عمدتاً از چند منبع DC یا از چند خازن استفاده می‌شود که در همین راستا ساختارهای بسیاری در سال‌های اخیر معرفی شده است. رایج‌ترین اینورترهای معرفی شده اینورترهای کاسکاد<sup>۱</sup>، دیود کلمپ<sup>۲</sup> و خازن کلمپ<sup>۳</sup> می‌باشند. در اینورتر کاسکاد مرسوم و اینورترهایی که بر پایه این اینورتر برای بهبود آن معرفی شده‌اند، برای تولید ولتاژ چندسطحی نیاز به منابع DC جدا از هم می‌باشد. عدم وجود منابع DC جدا از هم به طور همزمان و یا ترانسفورماتور با خروجی‌های متعدد، موجب عدم عملکرد مناسب این اینورترها می‌شود. همچنین وجود منابع متعدد و ترانسفورماتور با خروجی‌های متعدد باعث افزایش حجم، وزن و هزینه اینورتر خواهد شد.

روش دیگر برای تولید ولتاژ چندسطحی استفاده از خازن‌های سری به جای منابع DC متعدد می‌باشد. در اینورترهای دیود کلمپ و خازن کلمپ برای تولید ولتاژ چندسطحی از دیودها و خازن‌های سری استفاده می‌شود و لی برای عملکرد عادی اینورتر، ولتاژ خازن‌ها باید در اندازه مشخص ثابت نگه داشته شوند که باعث پیچیده شدن سیستم کنترلی می‌شود. در این اینورترها، در صورت بروز اختلال در سیستم کنترلی و عدم کارکرد صحیح آن و در نتیجه عدم تعادل ولتاژ خازن‌ها، اینورتر ولتاژ مناسب تولید نکرده و باعث کاهش قابلیت اطمینان اینورتر خواهد شد. همچنین در ساختار اینورترهای موجود، از تعداد بالای کلیدهای قدرت استفاده شده است که باعث افزایش تلفات می‌شود. اینورترهای مرسوم در بهترین شرایط دارای بهره ولتاژ واحد می‌باشند، در نتیجه برای استفاده در صنایع با ولتاژ بالا و توان‌های بالا نیازمند منابع DC بزرگ می‌باشند. تنش ولتاژ کلیدهای قدرت در ساختارهای موجود بالا بوده و در نتیجه برای تحمل ولتاژ معکوس نیازمند کلیدهای قدرت بزرگ می‌باشند که باعث افزایش هزینه اینورتر می‌شود. همچنین برای تولید ولتاژ چندسطحی از ساختارهای با سلف تزویج و یا ترانسفورماتور نیز استفاده می‌شود که توانایی افزایش بهره ولتاژ را دارا می‌باشند. اما در این ساختارها، تعداد زیاد کلیدهای قدرت و سلف‌ها و ترانسفورماتورها باعث افزایش هزینه، حجم و تلفات اینورتر می‌شود.

با توجه به مشکلات مطرح شده در اینورترهای موجود برای کاربردهای انرژی‌های تجدیدپذیر، هدف در این پایان اینورتری با قابلیت افزایندگی ولتاژ ورودی مناسب برای کاربردهای انرژی‌های فتوولتاییک می‌باشد که نسبت به اینورترهای موجود، تا حدامکان مناسب‌تر باشد.

---

<sup>1</sup> Cascaded

<sup>2</sup> Diode Clamped

<sup>3</sup> Capacitor Clamped



# بررسی منابع

## ۲ بررسی منابع

### ۲.۱ مقدمه

مبدل‌های چندسطحی به دلیل توانایی تولید سطوح ولتاژ متعدد، در کاربردهای توان بالا و انرژی‌های نو پیشرفت‌های فراوانی کرده‌اند. اما از مشکلات عمدۀ آن‌ها، تعداد ادوات زیاد، تنش ولتاژ زیاد روی کلیدها، در تعادل نگهداشت ولتاژ خازن‌های موجود در ساختار و وجود منابع DC متعدد را می‌توان نام برد. در اینورترهای چندسطحی، روش‌های کنترلی متفاوتی برای تولید ولتاژ مناسب وجود دارد که با توجه به کیفیت ولتاژ خروجی و کاربرد اینورتر مربوطه، می‌توان از روش کنترلی متناسب بهره برد.

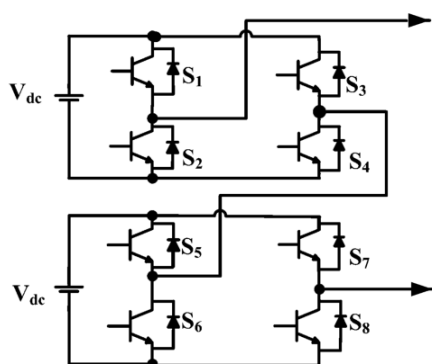
همچنین در انواع اینورترهای چندسطحی برای کاربردهای سلول‌های خورشیدی، باید توانایی افزایندگی ولتاژ ورودی در کنار اعمال MPPT برای آن وجود داشته باشد. در این قسمت، ساختارهای مرسوم و جدید متفاوتی در رابطه با انواع اینورترها، روش‌های کنترلی موجود و اینورترهای با کاربردهای پنل‌های خورشیدی بررسی می‌گردد. همچنین ساختار پنل‌های خورشیدی، روابط جریان و ولتاژ با در نظر گرفتن شرایط جوی و روش‌های تحصیل بیشینه توان از آن‌ها نیز در این قسمت بررسی خواهد شد.

### ۲.۲ بررسی منابع

برای اینکه اینورترها در کاربردهای توان بالا کارایی مناسبی داشته باشند، اینورترهای چند سطحی از توجه بالائی برخوردار می‌باشند [۱]. در اینورترهای چندسطحی برای تولید ولتاژ چندسطحی عمدتاً از چند منبع DC یا از چند خازن استفاده می‌شود که در همین راستا ساختارهای بسیاری در سال‌های اخیر معرفی شده است. رایج‌ترین اینورترهای معرفی شده اینورترهای کاسکاد، دیود کلمپ و خازن کلمپ می‌باشند [۴-۲].

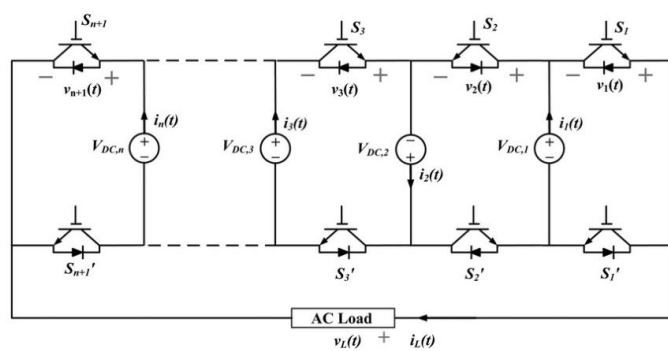
### ۲.۳ اینورتر کاسکاد

در اینورتر کاسکاد مرسوم و اینورترهایی که بر پایه این اینورتر برای بهبود آن معرفی شده‌اند، برای تولید ولتاژ چندسطحی نیازمند به منابع DC جدا از هم می‌باشد [۲]. ساختار ۵ سطحی اینورتر کاسکاد مرسوم در شکل ۱-۲ مشاهده می‌شود.

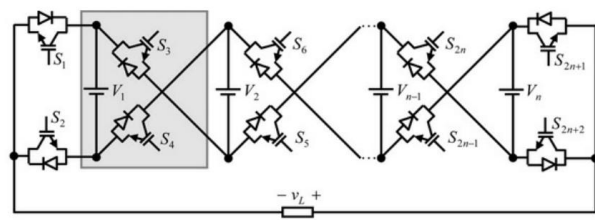


شکل ۱-۲: اینورتر کاسکاد مرسوم

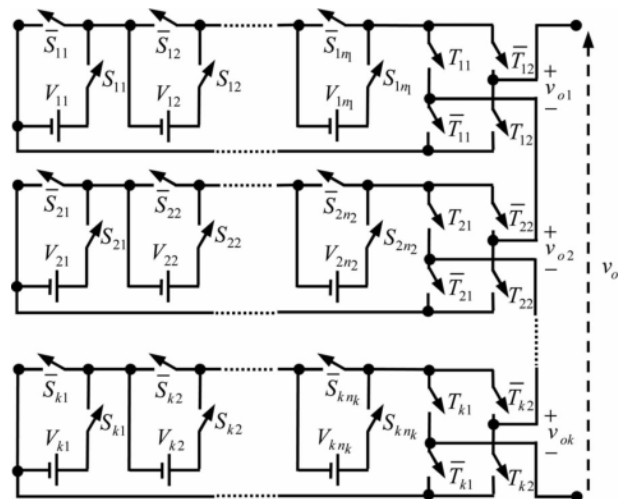
ساختارهایی برای بهبود اینورترهای کاسکاد در راستای کاهش ادوات معرفی شده‌اند که در شکل ۲-۲ مشاهده می‌شوند [۹-۵].



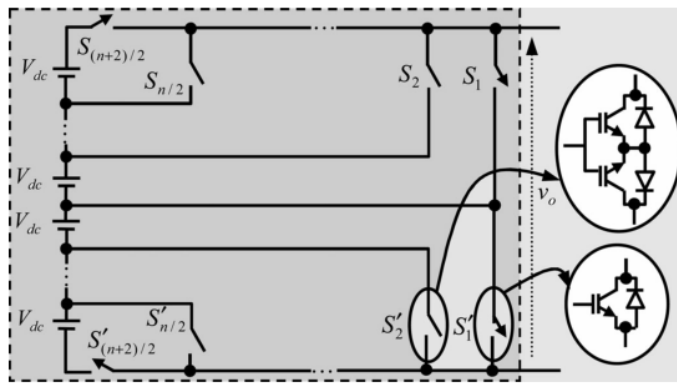
(الف) ساختار ارایه شده در [۵]



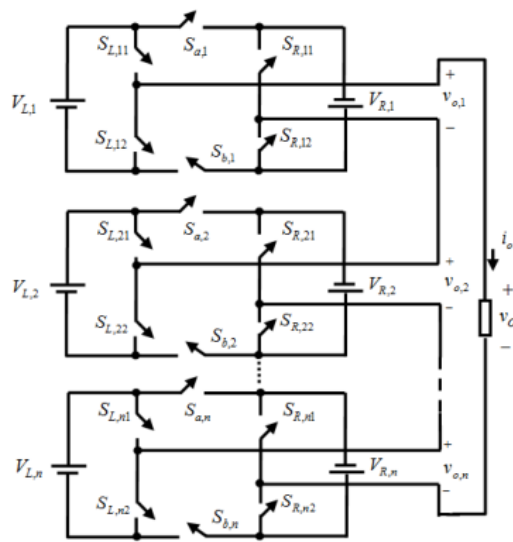
(ب) ساختار ارایه شده در [۶]



(ب) ساختار ارایه شده در [۷]



(ب) ساختار ارایه شده در [۸]



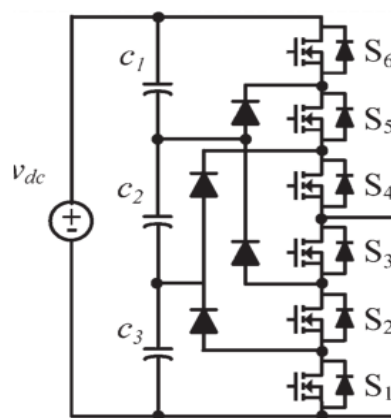
(ب) ساختار ارایه شده در [۹]

## شکل ۲-۲: ساختارهای بهبود یافته کاسکاد

عدم وجود منابع DC جدا از هم به طور همزمان و یا ترانسفورماتور با خروجی های متعدد ، موجب عدم عملکرد مناسب اینگونه اینورترها در صنعت می شود. همچنین وجود منابع متعدد و ترانسفورماتور با خروجی های متعدد باعث افزایش حجم، وزن و هزینه مبدل خواهد شد.

## ۴ اینورتر دیود کلمپ

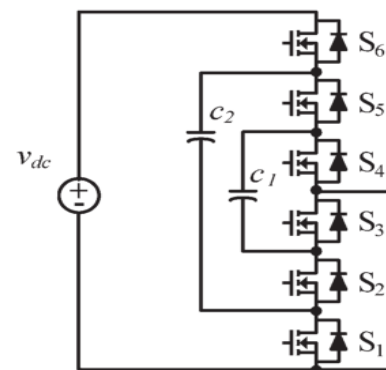
ساختار این اینورترها در شکل ۳-۲ مشاهده می شوند [۳]. در این اینورترها بجائی منابع DC متعدد، از خازن ها و دیودهای کلمپ برای تولید ولتاژ چندسطحی استفاده می شود. تعداد زیاد دیودها و همچنین وجود خازن ها و مشکلات در تعادل نگهداشتن ولتاژ آن ها از مشکلات این اینورترها محسوب می شود.



شکل ۲-۳: ساختار اینورتر دیود کلمپ [۳]

## ۲-۵ اینورتر خازن کلمپ

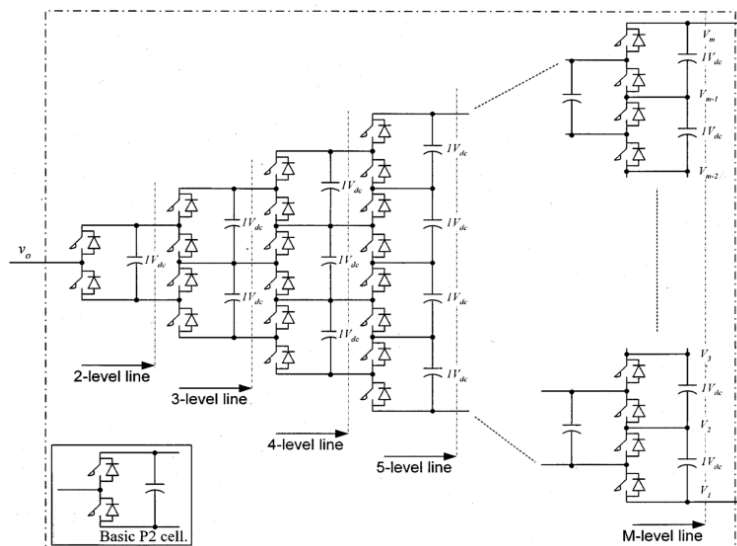
روش دیگر برای تولید ولتاژ چندسطحی استفاده از خازن‌های سری به جای منابع DC متعدد می‌باشد. در اینورتر خازن کلمپ، برای تولید ولتاژ چندسطحی از دیودهای کلمپ استفاده نشده و از خازن‌های سری استفاده می‌شود [۴]. ساختار این اینورترها در شکل ۲-۲ مشاهده می‌شود. وجود خازن‌ها و مشکلات در تعادل نگهداشتن ولتاژ آن‌ها از مشکلات عمدۀ این اینورترها محسوب می‌شود.



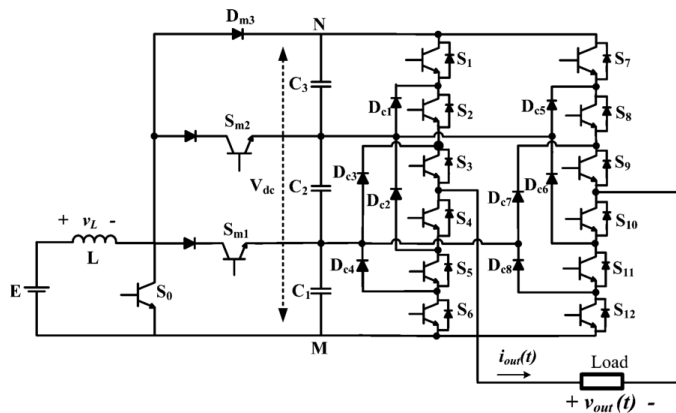
شکل ۲-۴: ساختار اینورتر خازن کلمپ [۴]

## ۲-۶ انواع دیگر از ساختارهای دارای خازن متعدد

در ساختارهای شکل ۲-۵، انواع دیگر مبدل‌ها که در آن‌ها خازن‌های متعدد وجود دارد، مشاهده می‌شوند [۱۰ و ۱۱].



(الف) ساختار ارایه شده در [۱۰]



(ب) ساختار ارایه شده در [۱۱]

## شکل ۵-۲: انواع ساختارهای با خازن متعدد

در اینگونه اینورترها برای عملکرد عادی مبدل، ولتاژ خازن‌ها باید در اندازه مشخص ثابت نگهداشته شوند که باعث پیچیده شدن سیستم کنترلی می‌شود [۱۲ و ۱۳]. در این اینورترها، در صورت بروز اختلال در سیستم کنترلی و عدم کارکرد صحیح آن و در نتیجه عدم تعادل ولتاژ خازن‌ها، اینورتر مذکور ولث مناسب تولید نکرده و باعث کاهش قابلیت اطمینان اینورتر خواهد شد . همچنین در ساختار اینورترهای موجود، از تعداد بالای کلید قدرت استفاده شده است که باعث افزایش تلفات می‌شود.

## ۲۴ اینورترهای مالتی سل

از انواع دیگر اینورترهای متناسب برای کاربردهای توان بالا، می‌توان از اینورترهای مالتی سل نام برد [۱۹-۱۶]. مبدل‌های FCM و [۱۵] و مشتقهای آن، مبدل‌های SM، [۱۶ - ۱۸] مزایای زیادی را برای کاربردهای ولتاژ متوسط از جمله توانایی در تعادل نگهداشتن ولتاژ خازن‌های شناور در سطح ولتاژ دلخواه بصورت طبیعی دارا می‌باشند [۲۰]. شکل ۲-۶ ساختار کلی یک FCM را نشان می‌دهد.